



مجله علمی پژوهشی مکانیک سازه ها و شاره ها



DOI: 10.22044/jstfm.2019.7770.2774

بررسی عددی اختلاط دو سیال با لزجت متفاوت در یک میکرو کانال در نسبت‌های منظری مختلف پره به روش شبکه بولتزمن

رضا کاوه^۱، محمد سفید^{۲*} و محسن مظفری شمسی^۳^۱ دانشجوی دکتری، دانشکده مکانیک، دانشگاه یزد، یزد، ایران^۲ دانشیار، دانشکده مکانیک، دانشگاه یزد، یزد، ایران^۳ استادیار، دانشکده مهندسی، دانشگاه میبد، میبد، ایران

مقاله مستقل؛ تاریخ دریافت: ۱۳۹۷/۰۹/۱۰؛ تاریخ بازنگری: ۱۳۹۷/۱۱/۰۸؛ تاریخ پذیرش: ۱۳۹۸/۰۱/۰۵

چکیده

در مطالعه حاضر اختلاط دو سیال با لزجت‌های مختلف در یک میکرو کانال مجهز به پره نوسانی به روش بولتزمن با زمان آسایش چندگانه شبیه‌سازی و اثرات نسبت منظری پره (AR) بر بازده اختلاط بررسی شده است. شبیه‌سازی در عدد رینولدز ۵۰، عدد اشمت ۱۰ انجام گرفته است. نتایج نشان می‌دهد، در دامنه نوسان (K)، در اعداد استتروهال (St) پایین، افزایش AR باعث بهبود بازده، ولی در سایر اعداد استتروهال، ابتدا باعث کاهش و سپس افزایش بازده شده است. در K متوسط، افزایش AR در St کم و میانی، باعث کاهش بازده و در St بالاتر، ابتدا باعث کاهش و سپس افزایش بازده شده است. در K بالا، در St کم و زیاد، افزایش AR موجب بهبود در بازده نمی‌شود و در St میانی، بازده ابتدا کاهش و سپس افزایش می‌یابد. در محدوده مطالعه حاضر در نسبت لگاریتمی لزجت (R) ۲، می‌توان مقدار بهینه را $R=0.7$ ، $AR=0.5$ ، $K=0.5$ و $St=1$ در نظر گرفت. همچنین، نتایج نشان می‌دهد که در دو سیال با لزجت متفاوت، در St خیلی کوچک، با افزایش R، بازده افزایش و در بقیه اعداد استتروهال، بازده کاهش چشمگیری می‌یابد. بهطورکلی در دو سیال با لزجت متفاوت، بازده در میکرو کانال با پره در نسبت‌های منظری کوچک بهتر است.

کلمات کلیدی: اختلاط؛ میکرو کانال؛ لزجت متفاوت؛ روش شبکه بولتزمن با زمان آسایش چندگانه؛ پره نوسانی.

Numerical Simulation of Mixing Two Fluids of Different Viscosities in a Micromixer at Different Aspect Ratios of Stirrer by LBM

R. Kaveh¹, M. Sefid^{2,*}, M. Mozafari-Shamsi³¹ Ph.D. Student, Department of Mechanical Engineering, University of Yazd, Yazd, Iran.² Associate Professor, Department of Mechanical Engineering, University of Yazd, Yazd, Iran.³ Assistant Professor, Department of Engineering, University of Meybod, Meybod, Iran.

Abstract

In the present study, mixing of two fluids of different viscosities in a micromixer with oscillating stirrer was simulated by MRT-LBM and the effect of aspect ratio (AR) of stirrer on mixing efficiency was analyzed. The simulation was performed at $Re=50$, $Sc=10$. The results showed, at low values of amplitude (K), at low values of Strouhal number (St), increase of AR causes increase in mixing efficiency and at others, it decreases and then increases. At intermediate values of K, at low and intermediate St, mixing efficiency decreases with the increase of AR and at high values of St, it first decreases and then increases. At high values of K, at low and high St, increasing AR causes no improvement in mixing efficiency and at intermediate values of St, mixing efficiency decreases and then increases. In this research, the best mixing efficiency for viscosity logarithmic ratio (R) = 2 is at $AR=0.7$, $St=1$, $K=0.5$. Also results revealed that for two fluids of different viscosities, at very low values of St, mixing efficiency increases with the increase of R and at others decreases considerably. In general, for two fluids of different viscosities, stirrer with low values of AR has better mixing efficiency.

Keywords: Mixing; Microchannel; Different Viscosities; MRT-LBM; Oscillating Stirrer.

* نویسنده مسئول؛ تلفن: ۰۳۵۳۱۲۳۲۴۶۰؛ فکس: ۰۳۵۳۸۲۱۲۸۷۱

آدرس پست الکترونیک: mhsefid@yazd.ac.ir

مقدار PH بستگی داشت. لیو و همکاران [۶]، به بررسی عددی اختلاط دو سیال (آب خالص و محلول آب گلیسیرین) در مخلوط کننده های سه بعدی مارپیچی و شطرنجی جناقی در اعداد رینولدز ۱ و ۱۰ پرداختند و نشان دادند، در رینولدز ۱ عملکرد اختلاط در هر دو مخلوط کننده، رابطه عکس با میزان گلیسیرین دارد. آن ها در مطالعه ای دیگر [۷]، با استفاده از محلول فنول فتالین و محلول سدیم هیدرو اکسید به آزمایش تجربی عملکرد اختلاط در مخلوط کننده مارپیچی سه بعدی در رینولدز ۶ تا ۷۰ پرداختند و نشان دادند، با افزایش عدد رینولدز قابلیت اختلاط در کانال افزایش پیدا می کرد. آن و همکاران [۸]، علاوه بر معرفی یک ضریب اختلاط جدید مناسب برای جریان های وابسته به زمان و تکرار شونده، جریان در یک میکرو مخلوط کننده مجهر به همزن متحرک را مورد بررسی قرار دادند؛ همچنین ایشان به مقایسه همزن دور و همزن نوسان کننده نیز پرداختند و نتیجه گرفتند که عملکرد پره نوسان کننده، مناسب تر است. جین و همکاران [۹]، با مدل سازی اختلاط دو سیال در یک میکرو مخلوط کننده، عملکرد اختلاط را با تغییر عدد رینولدز و نسبت جرمی گلیسیرین در آب خالص بررسی کردند و نشان دادند که با افزایش نسبت جرمی گلیسیرین در آب، میزان اختلاط کاهش پیدا می کند. کیم و همکاران [۱۰]، یک میکرو مخلوط کننده ساده، مجهر به سیلندر استوانه ای، پره و سیلندر و پره هم زمان را به یک روش شبکه بولتزمن مدل سازی کردند و عملکرد میکرو مخلوط کننده را در حالات مختلف از لحاظ بازده اختلاط، مورد بررسی قرار دادند. نتایج نشان داد که میکرو مخلوط کننده با پره و سیلندر، دارای اختلاط بهتری است. سیلیک و همکاران [۱۱]، به بررسی جریان در اطراف یک سیلندر نوسانی با نسبت سد شوندگی ۱/۳ پرداختند و نشان دادند، فرکانس ریزش گردابه طبیعی از استوانه ثابت محصور شده، دو برابر استوانه محصور نشده است. آن ها همچنین در مطالعه ای دیگر [۱۲]، اختلاط دو سیال یکسان را در یک میکرو کانال مجهر به یک سیلندر نوسان کننده با سه مدل هندسه ورودی مختلف مورد بررسی قرار دادند. آن ها نشان دادند، بهترین اختلاط در نسبت فرکانسی ۱/۲۵ و در حالت سه ورودی رخ می دهد. ایم و همکاران [۱۳]، با روش شبکه بولتزمن به تحلیل مکانیزم اختلاط در یک مخلوط کننده میکرو پرداختند و یک طراحی بهینه برای

۱- مقدمه

اختلاط سیالات از فرایندهای مهم در صنایع شیمیایی است. در سیستم های اختلاط، سیال با هر کدام از فازهای دیگر، یعنی مایع، جامد و گاز می تواند مخلوط شود. اختلاط معمولاً به منظور واکنش شیمیایی، انتقال حرارت، انتقال جرم و یا اختلاط چند فاز باهم (سوسپانسیون و تعقیق) در صنعت به کار می رود. عمل اختلاط می تواند باهم زدن در مایع همراه باشد که توسط نیروی خارجی و یا ابزاری مانند پره انجام می شود. پرهها با وارد کردن نیروی مماسی، باعث ایجاد گردابه در سیال می شوند که درنهایت سیال را به سمت ترکیب یکنواخت پیش خواهند برد [۱]. یک میکرو مخلوط کننده با دقت بالا و با کمک تکنولوژی میکرو و یا مهندسی ابزار دقیق ساخته می شود. اندازه میکرو کانال، در رنج های کمتر از ۵۰۰ میلی متر است. معمولاً عرض میکرو کانال ها ۱۰۰ تا ۵۰۰ میکرومتر و طول آن ها چند میلی متر یا بیشتر است. از میکرو مخلوط کننده ها به طور گسترده در صنایع داروسازی، بیومکانیک، آنالیز DNA، راکتورهای میکرو و واکنش های آنژیمی استفاده می شود [۱]. میکرو مخلوط کننده ها، معمولاً با توجه به هندسه کانال به گونه ای طراحی می شوند که طول اختلاط کاهش و مساحت سطح تماس افزایش پیدا کنند. با توجه به این دو اصل اساسی برای ایجاد اختلاط بهتر در ابعاد میکرو، میکرو مخلوط کننده ها به دودسته فعل و غیرفعال دسته بندی می شوند [۲]. میکرو مخلوط کننده های غیرفعال، بدون هیچ عامل خارجی و فقط از طریق اثر هندسه میکرو کانال بر جریان کار می کنند (مانند میکرو مخلوط کننده های ۶ و ۷ شکل). میکرو مخلوط کننده های فعل، اختلاط توسط عامل مخلوط کننده هایی هستند که خارجی تحریک می شود. اختلاط ناشی از پره های میکرو، از این دست می باشند [۳]. به علت حاکمیت اثرات لزجت، در ابعاد میکرو ایجاد جریان مشوش امکان پذیر نیست و عدد رینولدز در این ابعاد، معمولاً کمتر از ۱۰۰ است [۴]. از جمله کارهایی که در میکرو مخلوط کننده ها انجام گرفته، می توان به کار کخ و همکاران [۵] اشاره کرد. آن ها در یک کار تجربی با استفاده از تصویرسازی جریان و با استفاده از جوهرهای قرمز و سبز حل شونده در اثanol به آزمایش میکرو مخلوط کننده افقی پرداختند. در این آزمایش از فنول فتالین استفاده شد و رنگ نهایی اختلاط فقط به

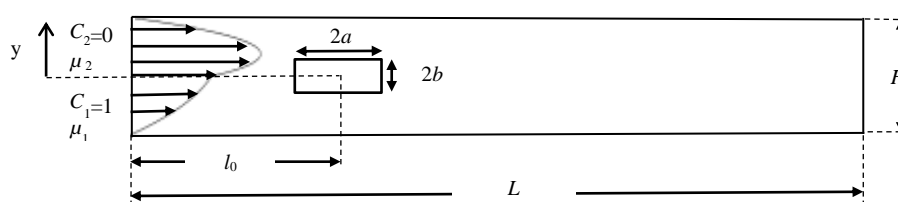
مختلف در نظر گرفته شده است. نتایج نشان می‌دهد که درصد اختلاط در نسبت منظری بالا با افزایش دامنه نوسان، افزایش می‌یابد.

اختلاط دو سیال زمانی مفهوم پیدا می‌کند که دما، غلظت و یا خواص دو سیال نسبت به هم متفاوت باشند؛ درصورتی که در بیشتر مطالعات صورت گرفته، اختلاط دو سیال با خواص یکسان مورد بررسی قرار گرفته است؛ همچنین در مطالعه [۱۷] که با نرمافزار CFX اختلاط دو سیال با خواص متفاوت شبیه‌سازی شده، ابعاد پره ثابت در نظر گرفته شده است درصورتی که ابعاد هندسی پره می‌تواند بر بازده اختلاط دو سیال متفاوت، تأثیرگذار باشد و مطالعه آن امری مهم به نظر می‌رسد. از این‌رو در پژوهش حاضر، اختلاط دو سیال مخلوط شونده با لزجت متفاوت در یک میکرو کانال دو بعدی مجذب به یک پره نوسان کننده به روش شبکه بولتزمن شبیه‌سازی شده و سپس تأثیر نسبت‌های منظری مختلف همزمان با سرعت و دامنه نوسان پره، مورد بررسی قرار گرفته است.

۲- فیزیک مسئله

شماتیکی از میکرو کانال مورد نظر، در شکل ۱ نشان داده شده است. مطابق با شکل ۱، طول کانال L و عرض آن برابر H است. پره به طول $2a$ و عرض $2b$ در فاصله l_0 از ابتدای کانال و در بعد عرضی در میانه کانال قرار دارد. پره با زاویه α و سرعت زاویه‌ای ω نوسان می‌کند. سیال اول با غلظت C_1 و لزجت μ_1 و سیال دوم با غلظت C_2 و لزجت μ_2 وارد کانال می‌شوند. با در نظر گرفتن عرض میکرو کانال به عنوان طول مشخصه، اعداد بدون بعد حاکم بر مسئله و مشخصات میکرو کانال، در جدول ۱ تعریف شده است.

افزایش بازده اختلاط ارائه نمودند. شمس‌الدینی و همکارانش [۱۴]، یک میکرو مخلوط کننده مجذب به پره را به کمک روش هیدرودینامیک ذرات هموار تراکم ناپذیر (ISPH) شبیه‌سازی کردند و عملکرد مخلوط کننده را از لحاظ بازده اختلاط، در چهار حالت پره ضربدری نوسان کننده، پره ضربدری دوران کننده، پره مستقیم نوسان کننده و پره مستقیم دوران کننده مورد بررسی قراردادند و نشان دادند که عملکرد پره ضربدری، بهتر از پره مستقیم است. اورتاگا کازانووا، به بررسی تأثیر فرکانس و دامنه نوسان حرکت یک سیلندر مربعی به صورت عمود بر جریان [۱۵] و به صورت نوسانی چرخان [۱۶] بر بیهود اختلاط پرداخت. او نشان داد، سیلندر نوسانی عمود بر جریان و نوسانی چرخان در حالت بهینه می‌تواند بازده اختلاط را به ترتیب، ۱۰ و ۱۵ برابر نسبت به سیلندر ساکن افزایش دهد. قبری و همکاران [۱۷]، به بررسی عددی اختلاط دو سیال با چگالی و لزجت متفاوت در یک میکرو مخلوط کننده مجذب به یک همزن پره‌های نوسان کننده در فرکانس‌های مختلف در اعداد رینولدز ۵۰ و اشمشیت ۱۰ توسط کد تجاری CFX پرداختند. آن‌ها نشان دادند، بیشینه تغییرات ساختمان اختلاط در حالت چگالی و لزجت متفاوت به ترتیب، ۱ و ۵۴/۰ و ۵۱/۱۵ درصد است؛ درصورتی که این مقدار برای دو سیال یکسان به $577/94$ درصد می‌رسد. خزیمه نژاد و همکاران [۱۸]، اثرات نسبت منظری یک همزن مستطیلی بر بازده اختلاط را با در نظر گرفتن همزمان اثرات فرکانس و دامنه نوسان درون یک میکرو کانال به روش شبکه بولتزمن بررسی نموده‌اند. آن‌ها نشان دادند، در مقادیر پایین و میانی فرکانس، اختلاط در مقادیر پایین نسبت منظری، دارای عملکرد بهتری نسبت به مقادیر بالاتر آن بوده است؛ همچنین آن‌ها در ادامه تحقیق خود، یک میکرو مخلوط کننده مجذب به پره نوسانی چرخان را در عدد پکلت ۱۰۰۰۰ مورد مطالعه قراردادند [۱۹]. در این تحقیق، پره مستطیلی با نسبت‌های منظری



شکل ۱- طرح شماتیک میکرو کانال

جدول ۱ - اعداد بدون بعد حاکم بر مسئله و مشخصات
میکرو کانال

عبارت	نام
$L = 10H$	طول کانال
H	عرض کانال
$l_0 = 2H$	موقعیت طولی پره
$H/2$	موقعیت عرضی پره
$2a = H/2$	طول پره
$2b$	عرض پره
$AR = b/a$	نسبت منظری
$a(t) = 2\pi k \sin(2\pi f_p t)$	زاویه چرخش پره
$\omega(t) = 4\pi^2 K f_p \cos(2\pi f_p t)$	سرعت زاویه‌ای
$Re = \frac{u_{ref} H}{\mu_1} = 50$	عدد رینولدز
$Sc = \frac{\mu_1}{\rho D} = 10$	عدد اشمت
$St = \frac{f_p H}{u_{ref}}$	عدد استروهال

۳- معادلات حاکم و روش حل عددی
در این بخش معادلات حاکم بر جریان اختلاط در سیال انتخاب شده جهت حل جریان اختلاط بیان خواهد شد.

۱-۳- معادلات حاکم

معادلات حاکم بر مسئله معادله بقای جرم، مومنتوم و غلظت است که به ترتیب در معادلات ۶-۸ تعریف می‌شود.

$$\frac{dp}{dt} + \rho \nabla \cdot \mathbf{V} = 0 \quad (6)$$

$$\rho \frac{d\mathbf{V}}{dt} = -\nabla P + \mu \nabla^2 \mathbf{V} \quad (7)$$

$$\frac{dC}{dt} = D \nabla^2 C \quad (8)$$

در مسئله حاضر لزجت سیال اول ثابت است و لزجت سیال دوم تغییر می‌کند. روابط لزجت به صورت رابطه ۱ تعریف می‌شود [۲۰]:

$$R = \ln \frac{\mu_2}{\mu_1} \quad (1)$$

سرعت در ورودی به صورت پروفیل توسعه یافته اعمال گردیده است. پروفیل سرعت توسعه یافته با تغییر لزجت تغییر می‌کند؛ بنابراین در ورودی میکرو کانال، پروفیل سرعت توسعه یافته برای دو سیال غیر مخلوط شدنی با لزجت متفاوت داده می‌شود که از رابطه ۲ به دست می‌آید [۱۷].

$$u(y)/u_0 = \begin{cases} 1 + A \cdot \frac{y}{H/2} - B \cdot \left(\frac{y}{H/2}\right)^2 & y \geq 0 \\ 1 + A' \cdot \frac{y}{H/2} - B' \cdot \left(\frac{y}{H/2}\right)^2 & y \leq 0 \end{cases}$$

$$A = \frac{e^R - 1}{2}, B = \frac{e^R + 1}{2}$$

$$A' = \frac{e^{R'} - 1}{2e^{R'}}, B' = \frac{e^{R'} + 1}{2e^{R'}} \quad (2)$$

u_0 سرعت سطح مشترک دو سیال است و از رابطه ۳ محاسبه می‌شود.

$$u_0 = \frac{U}{1 + \left(\frac{A-A'}{4}\right) - \left(\frac{B+B'}{6}\right)} \quad (3)$$

که در این رابطه U ، سرعت متوسط است. برای بررسی رفتار جریان اختلاط و میزان انتقال جرم، به شاخصی مناسب برای سنجش میزان اختلاط صورت گرفته نیاز است. در مطالعه حاضر از متوسط زمانی انحراف استاندارد برای میدان غلظت در یک مقطع به صورت رابطه ۴ استفاده شده است [۱].

$$D_I = \frac{1}{T} \int_{t_0}^{t_0+T} \sqrt{\frac{1}{N} \sum_{j=1}^N \left(\frac{C_j - C_{mean}}{C_{mean}} \right)^2} dt \quad (4)$$

در این رابطه N تعداد نقاط در یک مقطع عرضی، C_j غلظت نقطه j ، C_{mean} غلظت متوسط اولیه و T یک دوره تناوب نوسان پره است. برای محاسبه بازده اختلاط نیز، از رابطه ۵ استفاده می‌شود [۱].

$$\epsilon = (1 - D_I) * 100 \quad (5)$$

۱-۲-۳- روش شبکه بولتزمن مدل D2Q9 با زمان آسایش چندگانه

در این مقاله برای اپراتور برخورد توابع توزیع چگالی، مطابق با معادله (۹)، از روش MRT استفاده شده است [۲۱].

$$|f_i(\vec{x} + \vec{e}_i \delta_t, t + \delta_t) - |f_i(\vec{x}, t)\rangle = -M^{-1}S[|m(\vec{x}, t)\rangle - |m^{eq}(\vec{x}, t)\rangle] \quad (9)$$

که در این معادله $\langle f_i(\vec{x}, t) \rangle$ بردارتابع توزیع چگالی است. M نیز ماتریس انتقال است که بردارتابع توزیع چگالی را به فضای مومنت منقل می‌کند و از معادله ۱۰ محاسبه می‌شود [۲۲].

$$M = \begin{bmatrix} 1 & 1 & 1 & 1 & 1 & 1 & 1 & 1 & 1 \\ -4 & -1 & -1 & -1 & -1 & 2 & 2 & 2 & 2 \\ 4 & -2 & -2 & -2 & -2 & 1 & 1 & 1 & 1 \\ 0 & 1 & 0 & -1 & 0 & 1 & -1 & -1 & 1 \\ 0 & -2 & 0 & 2 & 0 & 1 & -1 & -1 & 1 \\ 0 & 0 & 1 & 0 & -1 & 1 & 1 & -1 & -1 \\ 0 & 0 & -2 & 0 & 2 & 1 & 1 & -1 & -1 \\ 0 & 1 & -1 & 1 & -1 & 0 & 0 & 0 & 0 \\ 0 & 0 & 0 & 0 & 0 & 1 & -1 & 1 & -1 \end{bmatrix} \quad (10)$$

در این فرمولاسیون زمان آرامش بدون بعد چگالی برابر $\tau_f = v/c_s^2 \Delta t + 0.5$ است که v ویسکوزیته سینماتیک است. تابع توزیع تعادلی چگالی $\langle f_i^{eq} \rangle$ ، به کمک معادلات ۱۳ محاسبه می‌شوند [۲۲].

$$f_i^{eq} = \rho w_i^f \left[1 + \frac{3}{c^2} \vec{e}_i^f \cdot \vec{u} + \frac{9}{2c^4} (\vec{e}_i^f \cdot \vec{u})^2 - \frac{3}{2c^2} \vec{u} \cdot \vec{u} \right] \quad (13)$$

که w_i^f ضرایب وزنی و \vec{e}_i^f توزیع سرعت گستته است که به ترتیب با استفاده از معادلات ۱۴ و ۱۵ محاسبه می‌شوند [۲۲].

$$w_i^f = \begin{cases} 4/9 & i = 0 \\ 1/9 & i = 1, 2, 3, 4 \\ 1/36 & i = 5, 6, 7, 8 \end{cases} \quad (14)$$

$$\vec{e}_i^f = \begin{cases} (0,0) & i = 0 \\ \cos\left((i-1)\frac{\pi}{2}\right), \sin\left((i-1)\frac{\pi}{2}\right) c & i = 1, 2, 3, 4 \\ \cos\left((i-5)\frac{\pi}{2}\right), \sin\left((i-5)\frac{\pi}{2}\right) \sqrt{2} c & i = 5, 6, 7, 8 \end{cases} \quad (15)$$

که در این روابط ρ چگالی، P فشار، C غلظت، V بردار سرعت، μ لزجت سیال، D نفوذ جرمی و d معرف مشتق مادی است.

۲-۳- روش عددی

در این مقاله از مدل شبکه بولتزمن دو بعدی D2Q9 برای میدان سرعت و D2Q5 برای میدان غلظت استفاده شده است؛ همچنین در مطالعه حاضر، از روش شبکه بولتزمن با زمان آسایش چندگانه که نسبت به مدل با یک زمان آسایش از پایداری و دقت بالاتری برخوردار است، استفاده گردیده است.

همچنین $|m(\vec{x}, t)\rangle$ بردار مومنت و $|m^{eq}(\vec{x}, t)\rangle$ بردار مومنت تعادلی است که با معادله ۱۱ برابر است [۲۲].

$$|m^{eq}(\vec{x}, t)\rangle = \left(\rho, e^{(eq)}, \varepsilon^{(eq)}, j_x, q_x^{(eq)}, j_y, q_y^{(eq)}, p_{xx}^{(eq)}, p_{xy}^{(eq)} \right)^T$$

$$j_x = u \qquad \qquad \qquad j_y = v$$

$$e^{(eq)} = -2\rho + 3(j_x^2 + j_y^2) \qquad q_x^{(eq)} = -j_x$$

$$\varepsilon^{(eq)} = \rho - 3(j_x^2 + j_y^2) \qquad q_y^{(eq)} = -j_y$$

$$p_{xy}^{(eq)} = j_x^2 \cdot j_y^2 \qquad \qquad \qquad p_{xx}^{(eq)} = j_x^2 - j_y^2 \quad (11)$$

همچنین $\vec{u} = ui + vj$ بردار سرعت مایکروسکوپی در میدان دو بعدی است و S ، ماتریس آرامش چگالی با معادله ۱۲ برابر است.

$$S = \text{diag}(0, -s_2, -s_3, 0, -s_5, 0, -s_7, -s_8, -s_9) \quad (12)$$

$$s_8 = s_9 = 1/\tau_f$$

$$w_i^g = \begin{cases} \frac{1}{3} & i = 0 \\ \frac{1}{6} & i = 1, 2, 3, 4 \end{cases} \quad (22)$$

$$\vec{e}_i^g = \begin{cases} (0,0) & i = 0 \\ (\pm 1, 0), (0, \pm 1) & i = 1, 2, 3, 4 \end{cases} \quad (23)$$

کمیت مایکروسکوپی غلظت به کمک معادله ۲۴ محاسبه می‌شود.

$$C = \sum_{i=0}^4 g_i \quad (24)$$

۳-۲-۳- شرایط مرزی در حل میدان سرعت و غلظت
 شرایط مرزی در واقع توصیف شرایط فیزیک مرزها، از طریق معادلات ریاضی است. از آنجایی که در روش شبکه بولتزمن به جای کمیت‌های فیزیکی روی مرز، همچون سرعت و غلظت با مقادیر توابع توزیع سروکار داریم، این روش نیازمند تکنیک‌هایی برای اعمال شرایط مرزی به کمک توابع توزیع است. در حل میدان سرعت برای اعمال شرط عدم لغزش روی دیوارهای کانال از شرط مرزی پرش به عقب [۲۲]، برای اعمال پروفیل سرعت ورودی از روش زو هی [۲۴] و برای اعمال شرط مرزی نیومن در خروجی، از شرط مرزی فشارثابت استفاده شده است. در مرز منحنی از روشی بر پایه برون‌یابی استفاده گردیده است که توسط گو و همکاران [۲۵] مطابق شکل ۲ در رابطه ۲۵ ارائه شده است.

$$f_{\bar{\alpha}}(x_w, t) = f_{\alpha}^{eq}(x_w, t) - (1 - \tau^{-1})f_{\alpha}^{neq}(x_w, t) \quad (25)$$

که در این رابطه $f_{\alpha}^{neq}(x_w, t)$ ، بیانگر تابع توزیع غیرتعادلی در گره جامد است.

$$\begin{cases} f_{\bar{\alpha}}^{neq}(x_w, t) = f_{\bar{\alpha}}^{neq}(x_f, t) & \Delta \geq 0.75 \\ f_{\bar{\alpha}}^{neq}(x_w, t) = \\ \Delta f_{\bar{\alpha}}^{neq}(x_f, t) + (1 - \Delta)f_{\bar{\alpha}}^{neq}(x_{ff}, t) & \Delta < 0.75 \end{cases} \quad (26)$$

Δ نسبتی است که از رابطه ۲۷ به دست می‌آید:

$$\Delta = \frac{|x_f - x_w|}{|x_f - x_b|} \quad 0 \leq \Delta < 1 \quad (27)$$

برای محاسبه $f_{\alpha}^{eq}(x_w, t)$ از رابطه ۱۳ استفاده می‌شود که به پارامترهای $\bar{\rho}_w$ و \bar{u}_w در گره جامد نیاز دارد. جهت تعیین \bar{u}_w می‌توان از معادلات ۲۸ استفاده کرد:

$$\begin{cases} \bar{u}_w = u_{w1} & \Delta \geq 0.75 \\ \bar{u}_w = \Delta u_{w1} + (1 - \Delta)u_{w2} & \Delta < 0.75 \end{cases} \quad (28)$$

در این معادلات $c = \delta x / \delta t$ سرعت میکروسکوپیک ذرات و $c_s = c / \sqrt{3}$ سرعت صوت در شبکه بولتزمن است؛ همچنین δx فاصله شبکه و δt گام زمانی است که جهت سهولت، در این مقاله این دو مقدار برابر یک در نظر گرفته شده است. کمیت‌های مایکروسکوپی هیدرودینامیکی، به کمک معادله ۱۶ محاسبه می‌شوند [۲۲].

$$\rho = \sum_{i=0}^8 f_i, \quad \rho \vec{u} = \sum_{i=0}^8 \vec{e}_i^f f_i, \quad p = \rho c_s^2 \quad (16)$$

۲-۲-۳- روش شبکه بولتزمن مدل D2Q5 با زمان آسایش چندگانه

در مطالعه صورت گرفته برای حل میدان غلظت به دلیل داشتن دقت مرتبه دوم برای مرزهای منحنی با شرط مرزی نیومن، از مدل D2Q5 استفاده شده است [۲۳]. برای اپراتور برخورد توابع توزیع غلظت، مشابه با معادله ۱۷ از روش MRT استفاده شده است.

$$|g_i(\vec{x} + \vec{e}_i \delta_t, t + \delta_t) - g_i(\vec{x}, t)| = N^{-1} Q [|n(\vec{x}, t)| - |n^{eq}(\vec{x}, t)|] \quad (17)$$

که در این معادله $|g_i(\vec{x}, t)|$ بردارتابع توزیع غلظت است. N نیز ماتریس انتقال است که بردارتابع توزیع غلظت را به فضای مومنتم منتقل می‌کند و از معادله ۱۸ محاسبه می‌شود.

$$N = \begin{bmatrix} 1 & 1 & 1 & 1 & 1 \\ 0 & 1 & 0 & -1 & 0 \\ 0 & 0 & 1 & 0 & -1 \\ -4 & 1 & 1 & 1 & 1 \\ 0 & 1 & -1 & 1 & -1 \end{bmatrix} \quad (18)$$

همچنین $|n(\vec{x}, t)|$ بردار مومنتم و $|n^{eq}(\vec{x}, t)|$ بردار مومنتم تعادلی است که با معادله ۱۹ برابر است.

$$|n^{eq}(\vec{x}, t)| = (C, Cu_x, Cu_y, -2C/3, 0)^T \quad (19)$$

و ماتریس آرامش Q ، به صورت رابطه ۲۰ تعریف می‌شود:
 $Q = \text{diag}(1, (3D + 0.5)^{-1}, (3D + 0.5)^{-1}, 1, 1)$

$$(20)$$

تابع توزیع تعادلی غلظت (g_i^{eq}) به کمک معادله ۲۱ محاسبه می‌شود.

$$g_i^{eq} = cw_i^g \left[1 + \frac{1}{c^2} \vec{e}_i^g \cdot \vec{u} \right] \quad (21)$$

w_i^g ضرایب وزنی و \vec{e}_i^g توزیع سرعت گسسته است که به ترتیب با استفاده از معادلات ۲۲ و ۲۳ محاسبه می‌شوند.

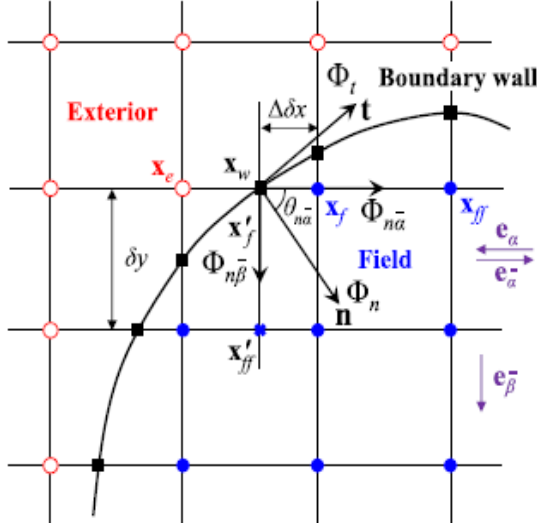
در حل میدان غلظت برای اعمال شرط مرزی نیومن در خروجی و دیوارهای کانال، از شرط پرش به عقب و برای اعمال شرط مرزی غلظت معلوم ϕ_d در ورودی، از معادله ۳۰ استفاده شده است [۲۶].

$$g_{\bar{\alpha}}(x_f, t + \delta t) = -\hat{g}_{\alpha}(x_f, t) + \frac{1}{3}\phi_d \quad (30)$$

همچنین برای مرز منحنی نیومن در میدان غلظت، از روشی با دقت مرتبه دوم استفاده شده است که لی و همکاران [۲۳]، بر اساس شکل ۳ طبق رابطه ۳۱ و ۳۲ ارائه کردند.

$$g_{\bar{\alpha}}(x_f, t + \delta t) = [c_{n1}\tilde{g}_{\alpha}(x_f, t) + c_{n2}\tilde{g}_{\alpha}(x_{ff}, t) + c_{n3}\tilde{g}_{\bar{\alpha}}(x_f, t)] + c_{n4}\frac{\delta t}{\delta x}\phi_{n\bar{\alpha}} \quad (31)$$

$$\begin{aligned} \phi_{n\bar{\alpha}} = & \left\{ \frac{1}{c'_{d4}} \left[(c'_{n1} - c'_{d1})\tilde{g}_{\beta}(x'_f, t) (c'_{n2} - c'_{d2})(c'_{n2} - c'_{d2})\tilde{g}_{\beta}(x'_{ff}, t) \right. \right. \\ & + (c'_{n3} - c'_{d3})\tilde{g}_{\bar{\beta}}(x'_f, t)] \sin \theta - \frac{1}{c'_{d4}} [(c_{n1} - c_{d1})\tilde{g}_{\alpha}(x_f, t) \\ & \left. \left. + (c_{n2} - c_{d2})\tilde{g}_{\alpha}(x_{ff}, t) + (c_{n3} - c_{d3})\tilde{g}_{\bar{\alpha}}(x_f, t) \right] \sin \theta \right. \\ & \left. + \frac{c'_{n4}}{c'_{d4}} \frac{\delta t}{\delta x} \phi_n / \left[\frac{c_{n4}}{c_{d4}} \frac{\delta t}{\delta x} \sin \theta + \frac{c'_{n4}}{c'_{d4}} \frac{\delta t}{\delta x} \cos \theta \right] \right\} \end{aligned} \quad (32)$$



شکل ۳- مرز منحنی غلظت در مدل D2Q5 [۲۶]

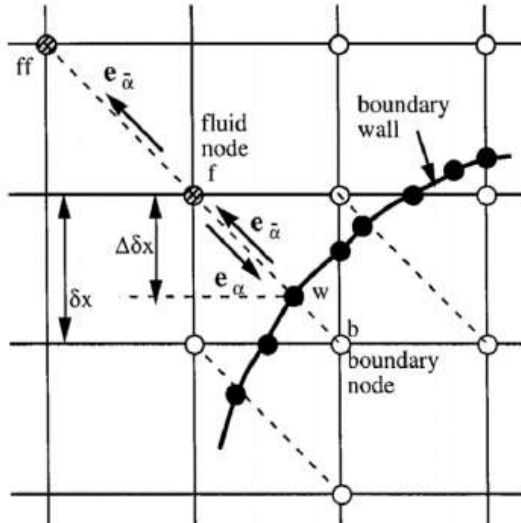
در این معادلات، \bar{u}_{w1} و \bar{u}_{w2} سرعت‌های به دست آمده از برونشابی خطی زیر هستند:

$$\begin{cases} u_{w1} = \frac{u_b}{\Delta} + \frac{\Delta - 1}{\Delta} u_f \\ u_{w2} = \frac{2u_b + (\Delta - 1)u_{ff}}{1 + \Delta} \end{cases} \quad (39)$$

همچنان چگالی روی مرز برای جریان‌های تراکم ناپذیر همانند روش‌های قبل، برای با چگالی نزدیک‌ترین گره سیال در نظر گرفته می‌شود. ($\rho(x_w, t) = \rho(x_f, t)$)

$$g_{\bar{\alpha}}(x_f, t + \delta t) = [c_{n1}\tilde{g}_{\alpha}(x_f, t) + c_{n2}\tilde{g}_{\alpha}(x_{ff}, t) + c_{n3}\tilde{g}_{\bar{\alpha}}(x_f, t)] + c_{n4}\frac{\delta t}{\delta x}\phi_{n\bar{\alpha}} \quad (31)$$

$$\begin{aligned} \phi_{n\bar{\alpha}} = & \left\{ \frac{1}{c'_{d4}} \left[(c'_{n1} - c'_{d1})\tilde{g}_{\beta}(x'_f, t) (c'_{n2} - c'_{d2})(c'_{n2} - c'_{d2})\tilde{g}_{\beta}(x'_{ff}, t) \right. \right. \\ & + (c'_{n3} - c'_{d3})\tilde{g}_{\bar{\beta}}(x'_f, t)] \sin \theta - \frac{1}{c'_{d4}} [(c_{n1} - c_{d1})\tilde{g}_{\alpha}(x_f, t) \\ & \left. \left. + (c_{n2} - c_{d2})\tilde{g}_{\alpha}(x_{ff}, t) + (c_{n3} - c_{d3})\tilde{g}_{\bar{\alpha}}(x_f, t) \right] \sin \theta \right. \\ & \left. + \frac{c'_{n4}}{c'_{d4}} \frac{\delta t}{\delta x} \phi_n / \left[\frac{c_{n4}}{c_{d4}} \frac{\delta t}{\delta x} \sin \theta + \frac{c'_{n4}}{c'_{d4}} \frac{\delta t}{\delta x} \cos \theta \right] \right\} \end{aligned} \quad (32)$$



شکل ۲- مرز منحنی سرعت در مدل D2Q9 [۲۵]

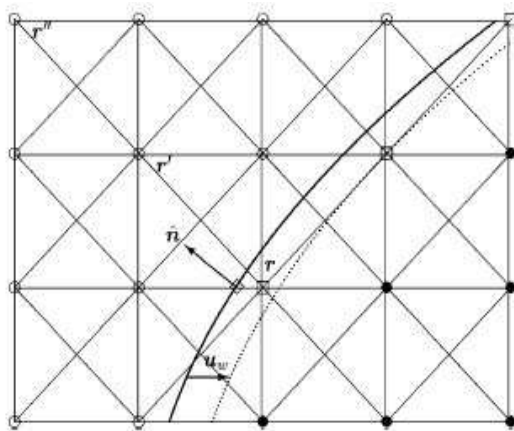
که در این رابطه، ضرایب عبارت‌اند از:

$$\begin{aligned} c_{d1} = -1, c_{d2} = \frac{2\Delta c_{d1} + 1}{2\Delta + 1}, \\ c_{d3} = \frac{c_{d1} + 2\Delta}{2\Delta + 1}, c_{d4} = \frac{-c_{d1} + 1}{2\Delta + 1} \quad (34) \\ c_{n1} = 1, c_{n2} = \frac{1 - 2\Delta}{2\Delta + 1}, \\ c_{n3} = \frac{2\Delta - 1}{2\Delta + 1}, c_{n4} = \frac{2}{2\Delta + 1} \quad (33) \end{aligned}$$

$$\begin{aligned} c_{d1} = -1, c_{d2} = \frac{2\Delta c_{d1} + 1}{2\Delta + 1}, \\ c_{d3} = \frac{c_{d1} + 2\Delta}{2\Delta + 1}, c_{d4} = \frac{-c_{d1} + 1}{2\Delta + 1} \quad (34) \end{aligned}$$

تعداد گره از ۱۴۱ به ۱۵۱ تغییر بسیار کمی در شاخص اختلاط ایجاد کرده است؛ بنابراین تعداد گره ۱۴۱ برای انجام محاسبات کافی است.

به منظور اطمینان از نتایج حاصل از اختلاط دو سیال با لزجت متفاوت، روش حل عددی انتخاب شده با نتایج قنبری و همکاران [۱۷]، اعتبارسنجی شده است. در این مطالعه میکرو کانال با طول 31D و عرض 3D در نظر گرفته شده که در آن پرهای به طول 2D و عرض 0.048D و به فاصله 4D از ورودی تحت زاویه $\pm 45^\circ$ با سرعت ثابت نوسان می‌کند. در شکل ۵ کانتورهای غلظت و در شکل ۶، شاخص اختلاط در مطالعه حاضر با تحقیق مورد نظر در سه عدد استروهال مختلف $0, \frac{1}{3}, 0, \frac{7}{10}$ و $1, 0, Re = 50, Sc = 10$ نسبت لگاریتمی لزجت ۲ مقایسه شده است. همان‌گونه که مشاهده می‌شود، از تطابق خوبی برخوردار است.



شکل ۴- تشریح یک مرز متحرک با سرعت u_w

جدول ۲- شاخص اختلاط در خروجی میکرو کانال در تعداد گره‌های مختلف

تعداد گره	۱۵۱	۱۴۱	۱۲۱	۹۱	۶۱	D_I
	۰/۴۹۰۷۲	۰/۴۹۱۱۱	۰/۴۹۳۱۶	۰/۴۹۷۶۲	۰/۵۰۷۹۷	
درصد اختلاف %	۰/۰۸	۰/۴۱	۰/۹	۲/۰۴	-	

$$\begin{aligned} c'_{di} &= c_{di}(\Delta = 0), \\ c'_{ni} &= c_{ni}(\Delta = 0) \quad i = 1 - 4 \end{aligned} \quad (۳۵)$$

۳-۲-۴- روش شارژ مجدد

همان‌طور که در شکل ۴ نشان داده شده است، از آنجاکه شبکه بولتزمن از شبکه دکارتی ثابت استفاده می‌کند، با حرکت مرز در هر تکرار، تعدادی از گره‌ها از دامنه جامد به درون دامنه سیال منتقل می‌شوند و بالعکس. در چنین گره‌هایی تعدادی از توابع توزیع و همچنین مقدار متغیرهای عمومی، مجھول هستند که برای ادامه شبیه‌سازی باید تخمین زده شوند. به روش‌هایی که این مقادیر مجھول به کمک آن‌ها تخمین زده می‌شوند، روش‌های شارژ مجدد گفته می‌شود. در این مطالعه از طرح برون‌یابی مرتبه دومی استفاده شده است که لالمند و همکاران [۲۷]، برای شارژ مجدد ارائه کردند. در این روش در هر گره سیال و یا جامد جدید، از یک روش برون‌یابی درجه‌دو مطابق رابطه‌های ۳۶ و ۳۷ محاسبه توابع توزیع مجھول استفاده می‌شود.

$$\begin{aligned} f_i(\vec{x}_{\text{new}}, t + \partial t) &= 3f_i(\vec{x}_{\text{new}} + \vec{e}_i^f \partial t, t + \partial t) \\ &- 3f_i(\vec{x}_{\text{new}} + 2\vec{e}_i^f \partial t, t + \partial t) \\ &+ f_i(\vec{x}_{\text{new}} + 3\vec{e}_i^f \partial t, t + \partial t) \end{aligned} \quad (۳۶)$$

$$\begin{aligned} g_i(\vec{x}_{\text{new}}, t + \partial t) &= 3g_i(\vec{x}_{\text{new}} + \vec{e}_i^g \partial t, t + \partial t) \\ &- 3g_i(\vec{x}_{\text{new}} + 2\vec{e}_i^g \partial t, t + \partial t) \\ &+ g_i(\vec{x}_{\text{new}} + 3\vec{e}_i^g \partial t, t + \partial t) \end{aligned} \quad (۳۷)$$

\vec{e}_i^g و \vec{e}_i^f بردار سرعتی است که حاصل ضرب آن‌ها در \vec{n} در آن جهت بیشینه می‌شود. در اینجا \vec{n} بردار یکه عمود بر سطح به سمت خارج مرز در آن گره است.

۴- اعتبارسنجی

به منظور حذف خطاهای ناشی از درشتی شبکه، انجام محاسبات با تعداد شبکه‌های مختلف تا رسیدن به مرحله مستقل از شبکه ضروری خواهد بود. در جدول ۲ شاخص اختلاط در خروجی میکرو کانال در طول‌های مشخصه مختلف در اعداد $B = 0.5$ ، $AR = 0.1$ ، $St = 1$ ، $R = 2$ ، $K = 0.5$ نشان داده شده است. همان‌طور که مشخص است، افزایش

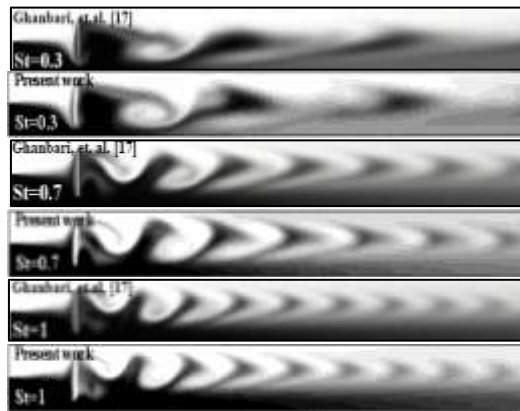
۵- بررسی نتایج

در این بخش، ابتدا تغییرات بازده اختلاط در خروجی میکرو کanal در برابر عدد استروهال برای دو سیال با نسبت لزجت لگاریتمی ۲ در نسبت‌های منظری مختلف در سه دامنه نوسان $K=0.1, 0.5, 1$ بررسی شده است. سپس کانتورهای غلظت برای یک دوره تناوب در حالت $St=1$, $AR=0.7$, $R=2$ و $K=0.5$ نشان داده شده است. در ادامه تأثیر عدد استروهال و نسبت منظری پره بر بازده اختلاط برای سه نسبت مختلف لگاریتمی لزجت $R=0.1, 2$, $AR=0.7$, $Sc=1$ مورد مطالعه قرار گرفته است.

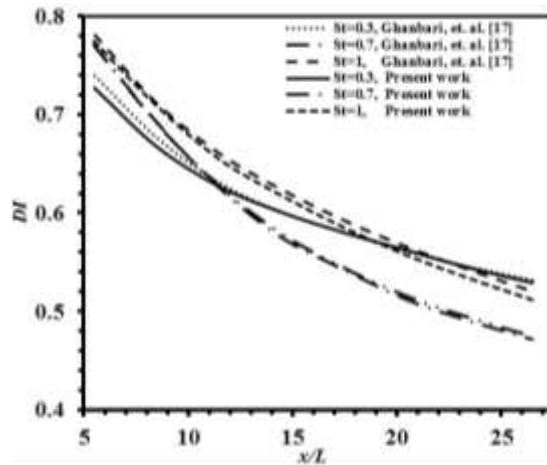
۵-۱- تغییرات بازده اختلاط در نسبت‌های منظری مختلف

در این بخش شش نسبت منظری $0/1$, $0/3$, $0/5$, $0/7$, $0/9$ و ۱ برای پره در نظر گرفته شده، تغییرات بازده اختلاط در خروجی میکرو کanal در مقابل اعداد استروهال $K=0.1, 0.5, 1$ برای دو سیال با نسبت لگاریتمی لزجت ۲ مورد مطالعه قرار گرفته است.

شکل ۸ تغییرات بازده اختلاط در خروجی میکرو کanal را نسبت به اعداد مختلف استروهال در نسبت‌های منظری مختلف و $K=0.1$ نشان می‌دهد. با توجه به شکل ۸، در دامنه نوسان کوچک، تغییرات بازده اختلاط اندک است؛ به طوری که در این دامنه نوسان، افزایش عدد استروهال تا $0/6$ می‌تواند بازده را تنها ده درصد افزایش دهد و افزایش بیش از این مقدار نیز، باعث کاهش بازده می‌شود؛ همچنین در اعداد استروهال پایین، افزایش نسبت منظری باعث بهبود بازده اختلاط شده، ولی در اعداد استروهال میانی و بالا، ابتدا باعث کاهش و سپس افزایش بازده اختلاط شده است. در شکل ۹ کانتورهای غلظت مربوط به نسبت منظری ۱ در سه عدد استروهال $0/1$, $0/6$ و 1 و $K=0.1$ نشان داده شده است. همان‌گونه که مشخص است، در دامنه نوسان کوچک، اختلاف لزجت دو سیال اثر حرکت پره را خنثی کرده و تنها منجر به ایجاد حرکت مارپیچ در کانتور غلظت شده است؛ بنابراین سطح تماس دو سیال اندک است و بازده اختلاط در این دامنه نوسان، پایین است؛ همچنین افزایش عدد استروهال از $0/6$ به ۱، باعث کاهش طول مسیر مارپیچ شده و بازده کاهش یافته است.

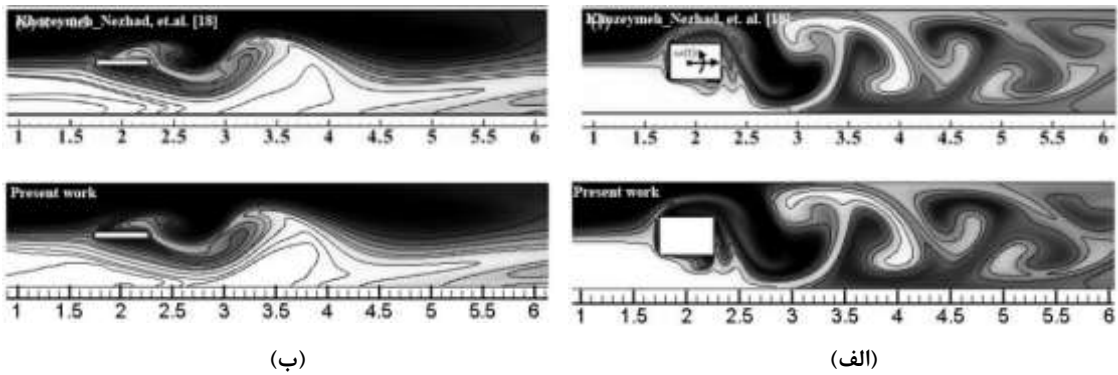


شکل ۵- مقایسه کانتورهای غلظت در مطالعه حاضر با کار
قنبی و همکاران [۱۷]



شکل ۶- مقایسه تغییرات شاخص اختلاط DI در مطالعه
حاضر با نتایج مرجع [۱۷]

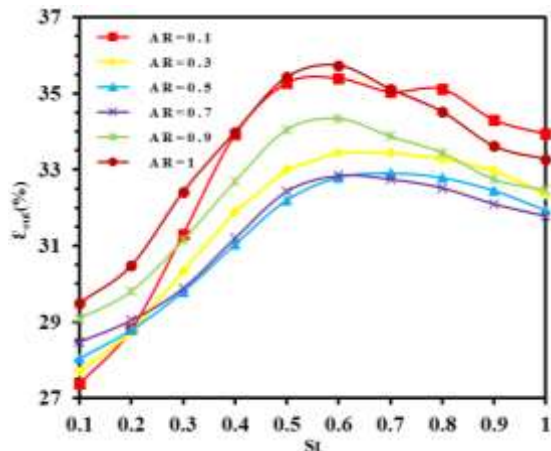
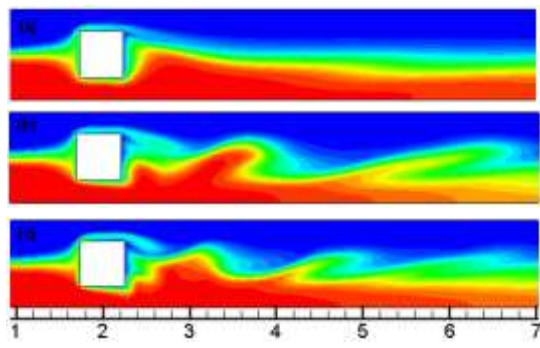
همچنین در ادامه، نتایج بدست‌آمده با نتایج خزیمه نژاد و همکاران [۱۸] نیز اعتبارسنجی گردیده است. در این مطالعه میکرو کanal با طول $H=10H$ و عرض $2H$ در نظر گرفته شده که در آن یک همنز در فاصله افقی $2H$ از درودی و فاصله مساوی $H/2$ از دیوارهای آن قرار گرفته است. همنز موردنظر به صورت یک سیلندر مستطیلی با طول و عرض به ترتیب، $2a$ و $2b$ و نسبت منظری ($AR=b/a$) نوسان می‌کند. در شکل ۷ کانتورهای غلظت برای حالت $St=0.1$ و $AR=0.8$ در دو حالت $Re=0.1$, $Sc=1$ و $Re=0.1$, $Sc=5$ مقایسه شده است که از تطابق خوبی برخوردار است.

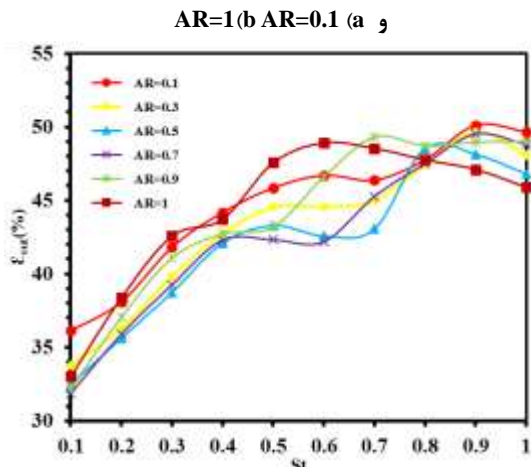


شکل ۷- مقایسه کانتورهای غلظت در مطالعه حاضر با نتایج خزیمه نژاد و همکاران [۱۸]

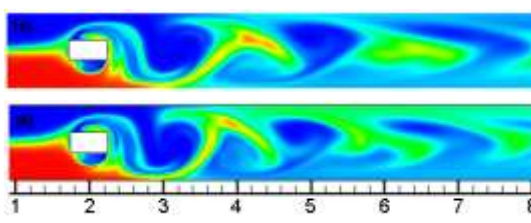
الف) $AR=0.1, K=0.5, St=0.1$ و (ب) $AR=0.7, K=0.5, St=0.8$

شکل ۱۰ تغییرات بازده اختلاط در خروجی میکرو کانال نسبت به اعداد مختلف استروهال در نسبت‌های منظری مختلف و در $K=0.5$ را نشان می‌دهد. در مقایسه شکل ۸ و ۱۰ تغییرات بازده اختلاط در دامنه نوسان $K=0.5$ نسبت به بازده اختلاط در دامنه نوسان $K=0.1$ ، بیشتر شده است. با توجه به شکل ۱۰، در دامنه نوسان متوسط، افزایش عدد استروهال در تمام نسبت‌های منظری پره، باعث افزایش بازده اختلاط می‌شود. در این دامنه نوسان، افزایش نسبت منظری در اعداد استروهال کمتر از $0.8/8$ ، سبب کاهش بازده اختلاط می‌شود و در اعداد استروهال بالاتر، ابتدا سبب کاهش و سپس افزایش بازده اختلاط شده است. شکل ۱۱ تغییرات بازده اختلاط نسبت به اعداد مختلف استروهال در نسبت منظری $0.1/1$ را در $St=1$ و $K=0.5$ نشان می‌دهد. همان‌گونه که در شکل ۱۱ مشخص است، اثر حرکت پره به صورت گردابهای هلالی شکل در میدان غلظت ظاهر شده است که در نزدیکی پره بزرگ‌تر و با فاصله گرفتن از پرها کوچک‌تر و کمرنگ‌تر می‌شوند. این هلال‌ها با کشاندن لایه‌های سیالات به درون یکدیگر، سبب افزایش سطح تماس بین سیالات شده و میزان اختلاط را افزایش می‌دهند. در $AR=0.1$ اثر پره به نزدیکی دیواره‌ها منتقل نمی‌شود و سیال در نزدیک دیواره به خوبی در فرایند اختلاط وارد نمی‌شود، ولی در $AR=1$ نقش‌های هلالی به گردابهای قارچی شکل تبدیل و سیال در نزدیکی دیواره در فرایند اختلاط وارد شده و بازده در $AR=1$ بیشتر شده است؛ همچنین با مقایسه شکل ۹-۱۱ (c) با (b) می‌توان دریافت که افزایش دامنه نوسان از $0/1$ به $0/5$ ، موجب به وجود آمدن

شکل ۸- تغییرات بازده اختلاط نسبت به اعداد مختلف استروهال در نسبت‌های منظری مختلف $St=0.1$ شکل ۹- کانتورهای غلظت در حالت $AR=1$ و $K=0.1$
الف) $St=0.1$ (b) $St=0.6$ (c) $St=1$ (a)



شکل ۱۲- تغییرات بازده اختلاط نسبت به اعداد مختلف استروهال در نسبت‌های منظری مختلف $K=1$

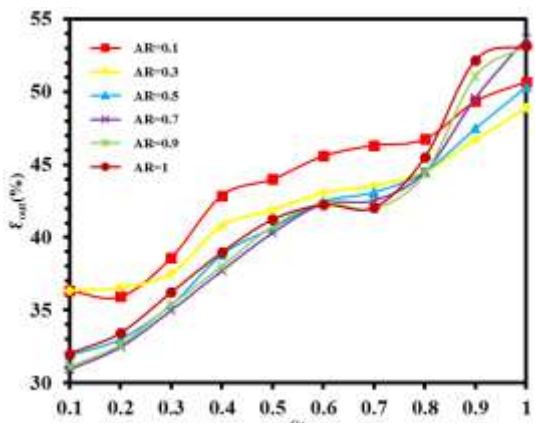


شکل ۱۳- کانتورهای غلظت در حالت $AR=0.5$ و $K=1$ و $St=0.8$ (b) $St=0.7$ (a)

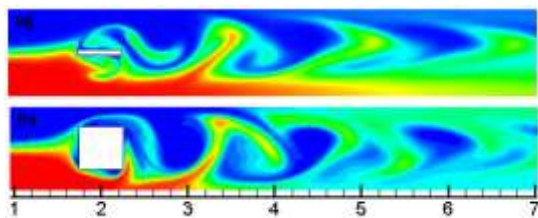
با توجه به تغییرات بازده اختلاط در محدوده مطالعه حاضر، می‌توان برای $R=2$ مقدار بهینه را در حالت $AR=0.7$ ، $K=0.5$ و $St=1$ در نظر گرفت. در شکل ۱۴ کانتورهای غلظت برای یک دوره تناوب (T) در این حالت نشان داده شده است. در این شکل کانتورها با اختلاف زمانی $T/6$ و اختلاف زاویه‌ای 120° نشان داده شده است. با توجه به کانتورها، در یک دوره تناوب، هنگامی که پره در خلاف جهت عقربه‌های ساعت در حال چرخش است، سیال C_1 در نیمه پایینی کanal به سمت سیال C_2 در نیمه بالایی کanal کشیده می‌شود و در ادامه با چرخش پره و برگشت به حالت اولیه، گردابه قارچی شکل تشکیل و از پره جدا می‌شود. این روند به طور متناوب ادامه می‌یابد و گردابه‌ها به سمت خروجی حرکت می‌کنند. بدین ترتیب سطح تماس دو سیال در طول کanal افزایش یافته و اختلاط صورت می‌گیرد.

نقشهای قارچی شکل در میدان غلظت شده و نسبت به دامنه نوسان $1/0$ که تماس دو سیال فقط در ناحیه مرکزی کanal است، بازده اختلاط افزایش یافته است.

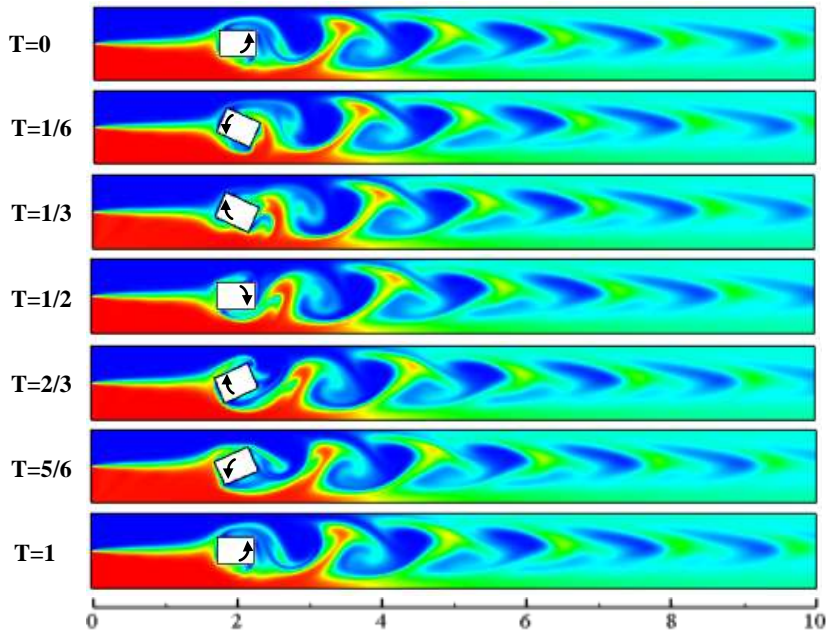
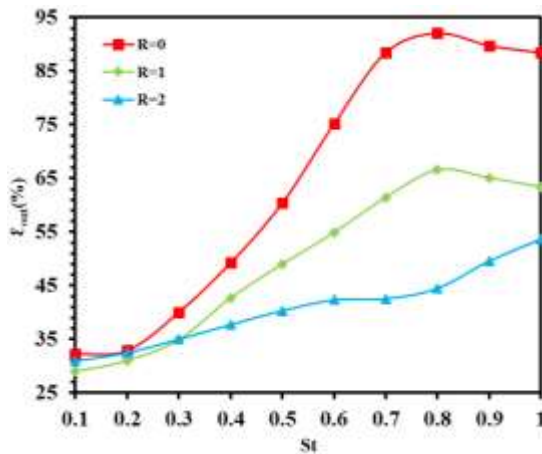
شکل ۱۲ تغییرات بازده اختلاط در خروجی میکرو کanal نسبت به اعداد مختلف استروهال در نسبت‌های منظری مختلف و در $K=1$ نشان می‌دهد. در این دامنه نوسان، افزایش عدد استروهال تا $0/5$ در تمام نسبت‌های منظری، موجب افزایش بازده اختلاط می‌شود. در اعداد استروهال پایین و بالا، افزایش نسبت منظری، موجب بهبود در بازده اختلاط نمی‌شود و در اعداد استروهال میانی با افزایش نسبت منظری، بازده ابتدا کاهش و سپس افزایش می‌یابد. در شکل ۱۳ کانتورهای غلظت در حالت $K=1$ و $AR=0.5$ و اعداد استروهال $0/7$ و $0/8$ نشان داده شده است. با توجه به شکل، اگر نوسان پره مانند حالت (b) باعث ایجاد گردابه‌های نزدیک به هم با تعداد بیشتر شود، بازده اختلاط نسبت به حالت (a)، بیشتر می‌شود که گردابه‌ها کشیده‌تر با تعداد کمتر هستند.



شکل ۱۰- تغییرات بازده اختلاط نسبت به اعداد مختلف استروهال در نسبت‌های منظری مختلف $K=0.5$



شکل ۱۱- کانتورهای غلظت در حالت $K=0.5$ و $St=1$

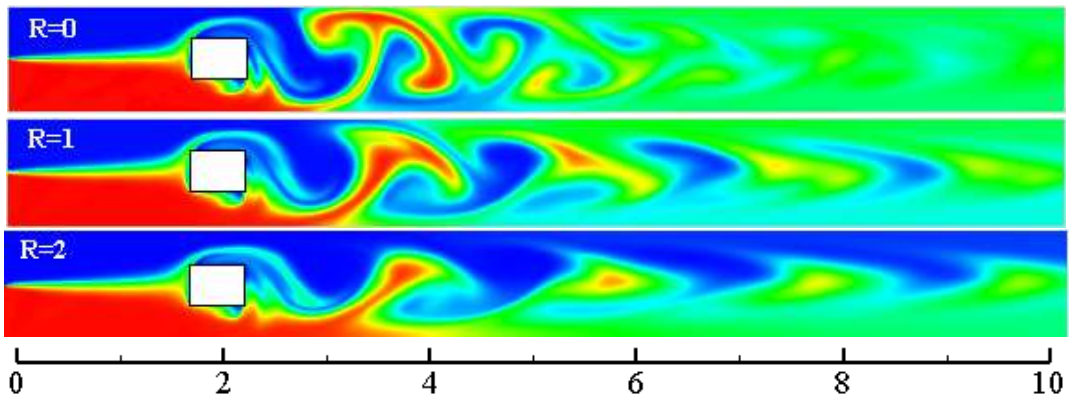
شکل ۱۴- کانتورهای غلظت برای یک دوره تناوب در حالت 2 و $K=0.5$ ، $AR=0.7$ ، $R=2$ ، $St=1$ شکل ۱۵- تغییرات بازده اختلاط نسبت به اعداد استروهال $K=0.5$ و $AR=0.7$ در نسبت های مختلف لگاریتمی لزجت در

در شکل ۱۶ کانتورهای سه نسبت لگاریتمی 0 و 1 و 2 در حالت $AR=0.7$ ، $R=1$ و $K=0.5$ در $St=0.8$ نشان داده شده است. همان‌گونه که در کانتورها مشخص است، با متفاوت شدن لزجت، دو سیال در برابر تغییر شکل مقاومت نشان می‌دهند؛ بهطوری که در $R=1$ گردابهای قارچی شکل و هلالی شکل بهطور کامل شکل نگرفته و در $R=2$ گردابهای قارچی شکل

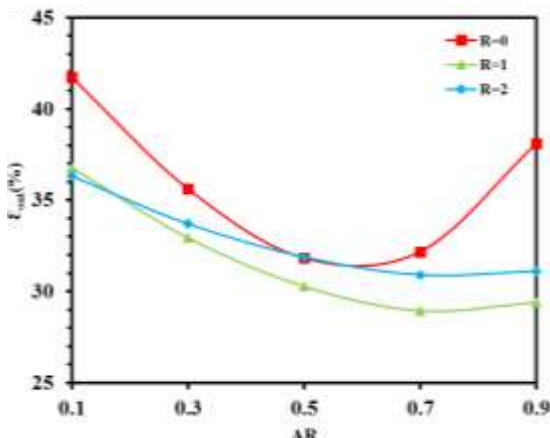
۲-۵- تغییرات بازده اختلاط در نسبت های مختلف لگاریتمی لزجت

جهت بررسی تأثیر نسبت های منظری پره بر بازده اختلاط در نسبت های مختلف لگاریتمی لزجت، در سه نسبت لگاریتمی 0 ، 1 و 2 ابتدا تغییرات بازده اختلاط در خروجی میکرو کانال در مقابل اعداد استروهال $1 \leq St \leq 0.1$ و در حالت $K=0.5$ و $AR=0.7$ ، مورد مطالعه قرار گرفته و سپس تغییرات بازده اختلاط در خروجی میکرو کانال در مقابل چهار نسبت منظری $0/1$ ، $0/5$ ، $0/7$ و $0/9$ برای پره در اعداد استروهال $0/1$ ، $0/5$ و 1 و در دامنه نوسان $0/5$ بررسی شده است.

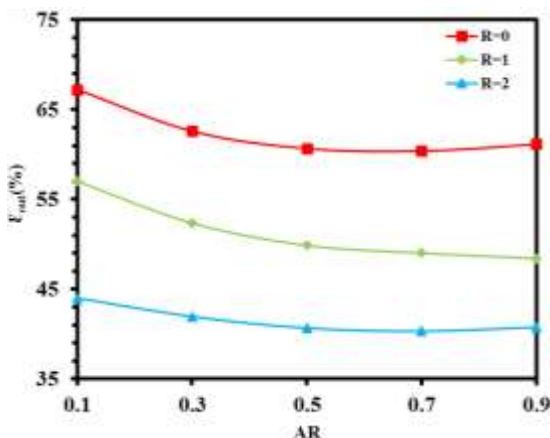
در شکل ۱۵ تغییرات بازده اختلاط در خروجی میکرو کانال در مقابل اعداد استروهال در حالت $K=0.5$ و $AR=0.7$ برای سه نسبت لگاریتمی لزجت نشان داده شده است. همان‌طور که در این شکل مشخص است، در اعداد استروهال بیشتر از $0/3$ با افزایش نسبت لگاریتمی لزجت، بازده اختلاط کاهش می‌یابد و این کاهش در اعداد استروهال بالا، به علت تفاوت در تشکیل گردابهای هلالی شکل و قارچی شکل، قابل ملاحظه است.



شکل ۱۶- کانتورهای غلظت برای نسبت‌های مختلف لگاریتمی لزجت در حالت $St=0.8$ و $K=0.5$ ، $AR=0.7$



شکل ۱۷- تغییرات بازده اختلاط نسبت به AR در نسبت‌های مختلف لگاریتمی لزجت در $St=0.1$ و $K=0.5$ و $AR=0.7$



شکل ۱۸- تغییرات بازده اختلاط نسبت به AR در نسبت‌های مختلف لگاریتمی لزجت در $St=0.5$ و $K=0.5$ و $AR=0.7$

اصلًاً تشکیل نشده و گردابهای هلالی شکل، کمتر از $R=1$ تشکیل شده است.

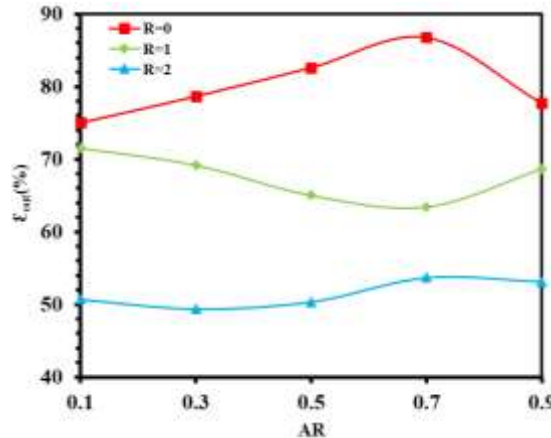
در شکل ۱۷ تغییرات بازده اختلاط در خروجی میکرو کanal در مقابل نسبت‌های منظری مختلف در حالت $K=0.5$ و $St=0.1$ برای سه نسبت لگاریتمی لزجت نشان داده شده است. در این حالت، در اعداد استروهال کوچک، مطابق با آبجعه در شکل ۱۶ برای اعداد استروهال کمتر از 0.3 مشاهده می‌شود، هنگامی که لزجت دو سیال متفاوت است، به علت مقاومت سیال در برابر تغییر شکل، نوسان پره تأثیر خود را در بهبود اختلاط از دست می‌دهد و ایجاد ناپایداری برائت اختلاف لزجت باعث بهبود اختلاط در نسبت لگاریتمی لزجت بالاتر می‌شود.

در شکل ۱۸ تغییرات بازده اختلاط در خروجی میکرو کanal در مقابل نسبت‌های منظری مختلف، در حالت $K=0.5$ و $St=0.5$ برای سه نسبت لگاریتمی لزجت نشان داده شده است. با توجه به شکل، به طورکلی می‌توان گفت، در عدد استروهال میانی افزایش AR ، موجب کاهش بازده اختلاط می‌شود.

در شکل ۱۹ تغییرات بازده اختلاط در خروجی میکرو کanal در مقابل نسبت‌های منظری مختلف در حالت $K=0.5$ و $St=1$ برای سه نسبت لگاریتمی لزجت نشان داده شده است. همان‌گونه که در شکل مشخص است، در عدد استروهال بالا، افزایش نسبت منظری تا 0.7 در دو سیال یکسان موجب بهبود بازده اختلاط شده و در دو سیال با لزجت متفاوت، تأثیر مثبتی نداشته است.

اعداد استروهال میانی با افزایش نسبت منظری، بازده ابتداء کاهش و سپس افزایش می‌یابد.

در بررسی تأثیر عدد استروهال و نسبت های منظری پره بر بازده اختلاط در نسبت های مختلف لگاریتمی لزجت، نتایج نشان می‌دهد که در اعداد استروهال خیلی کوچک، با افزایش نسبت لگاریتمی لزجت در دو سیال با لزجت متفاوت، بازده افزایش می‌یابد و در بقیه اعداد استروهال، با افزایش نسبت لگاریتمی، لزجت بازده اختلاط کاهش چشمگیری یافته است. همچنین در دو سیال با لزجت متفاوت، بازده اختلاط در میکرو کانال با پره در نسبت های منظری کوچک بهتر است.



شکل ۱۹- تغییرات بازده اختلاط نسبت به AR در نسبت های مختلف لگاریتمی لزجت در St=1 و K=0.5

۷- فهرست علائم

اندازه نصف طول پره،	<i>a</i>
نسبت منظری پره	AR
اندازه نصف عرض پره، <i>m</i>	<i>b</i>
سرعت میکروسکوپیک ذرات، <i>ms</i> ⁻¹	<i>c</i>
غلظت سیال	C
سرعت صوت در شبکه	<i>c_s</i>
پخش جرمی، <i>m</i> ² <i>s</i> ⁻¹	D
شاخص اختلاط	<i>D_I</i>
سرعت ذرات در جهات مختلف شبکه	<i>e</i>
تابع توزیع ذره در میدان سرعت	<i>f</i>
فرکانس پره، <i>s</i> ⁻¹	<i>f_P</i>
تابع توزیع ذره در میدان غلظت	<i>g</i>
ارتفاع میکرو کانال، <i>m</i>	H
دامنه بی بعد نوسان پره	K
طول میکرو کانال، <i>m</i>	L
بردار ممان برای معادله سرعت	<i>m</i>
ماتریس انتقال برای معادله سرعت	M

۶- نتیجه گیری

در مطالعه حاضر تأثیر نسبت منظری پره در یک میکرو کانال بر بازده اختلاط دو سیال با لزجت های متفاوت به روش شبکه بولتزمن بررسی شده است. شش نسبت منظری ۰/۱، ۰/۳، ۰/۵، ۰/۷، ۰/۹ و ۱ برای پره در نظر گرفته شده و تغییرات بازده اختلاط در خروجی میکرو کانال از جهات مختلف، مورد بررسی قرار گرفته است. اعداد استروهال در محدوده ۰/۱ تا ۱، سه دامنه نوسان ۰/۱، ۰/۵ و ۱ و نسبت لگاریتمی لزجت ۰، ۱ و ۲ در نظر گرفته شده است.

در بررسی اثرات نسبت منظری پره و عدد استروهال بر بازده اختلاط، نتایج نشان می‌دهند که در دامنه نوسان کوچک، افزایش عدد استروهال تا ۰/۶، می‌تواند بازده را افزایش دهد و در اعداد استروهال پایین، افزایش نسبت منظری باعث بهبود بازده اختلاط شده، ولی در اعداد استروهال میانی و بالا، ابتدا باعث کاهش و سپس افزایش بازده اختلاط شده است. در دامنه نوسان متوسط، افزایش عدد استروهال در تمام نسبت های منظری، باعث افزایش بازده اختلاط می‌شود و افزایش نسبت منظری در اعداد استروهال کمتر از ۰/۸، سبب کاهش بازده اختلاط می‌شود و در اعداد استروهال بالاتر، ابتدا سبب کاهش و سپس افزایش بازده شده است. در دامنه نوسان بالا، افزایش عدد استروهال تا ۰/۵ در تمام نسبت های منظری، سبب افزایش بازده اختلاط می‌شود و در اعداد استروهال پایین و بالا، افزایش نسبت نظری موجب بهبود در بازده اختلاط نمی‌شود و در

- مراجع

- [1] Nguyen NT (1970). Micromixers: Fundamentals, design and fabrication. William Andrew.
- [2] Hessel V, Löwe H, Schönfeld F (2005) Micromixers—a review on passive and active mixing principles. *Chem Eng Sci* 60(8-9): 2479-2501.
- [3] Capretto L, Cheng W, Hill M, Zhang X (2011) Micromixing within microfluidic devices. In *Microfluidics* (pp. 27-68). Springer, Berlin, Heidelberg.
- [4] Park, JY, Kim, YD, Kim SR., Han, SY, Maeng JS (2008) Robust design of an active micro-mixer based on the Taguchi method. *Sensor Actuat B-Chem* 129(2): 790-798.
- [5] Koch M, Witt H, Evans AGR, Brunnenschweiler A (1999) Improved characterization technique for micromixers. *J Micromech Microeng* 9(2), 156.
- [6] Liu YZ, Kim BJ, Sung HJ (2004) Two-fluid mixing in a microchannel. *Int J Heat Fluid Fl* 25(6): 986-995.
- [7] Liu RH, Stremler MA, Sharp KV, Olsen MG, Santiago JG, Adrian RJ, Beebe DJ (2000) Passive mixing in a three-dimensional serpentine microchannel. *J Microelectromech S* 9(2): 190-197.
- [8] An SJ, Kim YD, Heu S, Maeng JS (2006) Numerical study of the mixing characteristics for rotating and oscillating stirrers in a microchannel. *J Korean Phys Soc* 49(2): 651-659.
- [9] Jin SY, Liu YZ, Wang WZ, Cao ZM, Koyama HS (2006) Numerical evaluation of two-fluid mixing in a swirl micro-mixer. *J Hydodyn* 18(5): 542-546.
- [10] Kim YD, An SJ, Maeng JS (2007) Numerical analysis of the fluid mixing behaviors in a microchannel with a circular cylinder and an oscillating Stirrer. *J Korean Phys Soc* 50: 505-513.
- [11] Celik, B., Akdag, U., Gunes, S., & Beskok, A. (2008). Flow past an oscillating circular cylinder in a channel with an upstream splitter plate. *Phys Fluids*, 20(10), 103603.
- [12] Celik B, Beskok A (2009) Mixing induced by a transversely oscillating circular cylinder in a straight channel. *Phys Fluids* 21(7), 073601.
- [13] Im M, Park JY, Oh YK, Kim YD, Maeng JS, Han SY (2009) Microfluidic analysis of a micro-mixer with an oscillating stirrer.
- [14] Shamsoddini R, Sefid M, Fatehi R (2014) ISPH modelling and analysis of fluid mixing in a microchannel with an oscillating or a rotating stirrer. *Eng Appl Comp Fluid* 8(2): 289-298.
- [15] Ortega-Casanova J (2016) Enhancing mixing at a very low Reynolds number by a heaving square cylinder. *J Fluid Struct* 65: 1-20.

بردار ممان برای معادله غلظت	n
ماتریس انتقال برای معادله غلظت	N
$\text{k}\text{g}\text{m}^{-1}\text{s}^{-2}$	P
ماتریس قطری ضرایب آسایش در غلظت	Q
نسبت لگاریتمی لزجت	R
عدد رینولدز	Re
ماتریس قطری ضرایب آسایش در سرعت	S
عدد اشمیت	Sc
عدد استروهال	St
زمان تناوب پره، s^{-1}	T
سرعت سیال، ms^{-1}	u
سرعت در $y=0$, ms^{-1}	u_0
علائم یونانی	
جابه‌جایی زاویه‌ای پره، rad	α
گام زمانی، s	δt
گام مکانی، m	δx
ویسکوزیته سینماتیکی، m^2/s	v
kg/m^3	ρ
سرعت زاویه‌ای پره، rads^{-1}	ω
بالانویس‌ها	
تعادلی	eq
غیر تعادلی	neq
زیرنویس‌ها	
گره مرزی در قسمت جامد	b
گره مرزی در قسمت سیال	f
میزان متوسط	mean
گره روی مرز فیزیکی	w

- [21] Lallemand P, Luo LS (2003) Theory of the lattice Boltzmann method: Acoustic and thermal properties in two and three dimensions. *Phys Rev E* 68(3): 036706.
- [22] Guo Z, Shu C (2013) Lattice Boltzmann method and its applications in engineering (Vol. 3). World Scientific.
- [23] Li L, Mei R, Klausner JF (2017) Lattice Boltzmann models for the convection-diffusion equation: D2Q5 vs D2Q9. *Int J Heat Mass Tran* 108: 41-62.
- [24] Zou Q, He X (1997) On pressure and velocity boundary conditions for the lattice Boltzmann BGK model. *Phys Fluids* 9(6): 1591-1598.
- [25] Guo Z, Zheng C, Shi B (2002) An extrapolation method for boundary conditions in lattice Boltzmann method. *Phys Fluids* 14(6): 2007-2010.
- [26] Li L, Mei R, Klausner JF (2013) Boundary conditions for thermal lattice Boltzmann equation method. *J Comput Phys* 237: 366-395.
- [27] Lallemand P, Luo LS (2003) Lattice Boltzmann method for moving boundaries. *J Comput Phys* 184(2): 406-421.
- [16] Ortega-Casanova J (2017) CFD study on mixing enhancement in a channel at a low Reynolds number by pitching a square cylinder. *Comput Fluids* 145: 141-152.
- [17] Ghanbari S, Sefid M, Shamsoddini R (2016) Numerical Analysis of two-fluid mixing with various Density and Viscosity in a microchannel with forced oscillating stirrer. *Modares Mechanical Engineering* 16(8): 109-119.
- [18] Khozeymeh-Nezhad H, Niazmand H (2017) A numerical analysis of an active micromixer with the oscillating stirrer at the different aspect ratios by LBM. *Modares Mechanical Engineering* 17(9): 417-426.
- [19] Khozeymeh-Nezhad H, Niazmand H (2018) A double MRT-LBM for simulation of mixing in an active micromixer with rotationally oscillating stirrer in high Peclet number flows. *Int J Heat Mass Tran* 122: 913-921.
- [20] Talon L, Meiburg E (2011) Plane Poiseuille flow of miscible layers with different viscosities: instabilities in the Stokes flow regime. *J Fluid Mech* 686: 484-506.